

北海道大学 正員 茂村 仁
運輸省港湾技研 正員 中辻 隆

1. よえがき 半無限体上を荷重が移動する時の弾性体内的変位、応力の研究には、二次元問題に対するJ. ColeとJ. Huthによる研究⁽¹⁾、三次元問題に対するL. Frýbaによる研究⁽²⁾などがある。後者は、二重フーリエ変換による解法であるため、変位、応力を求めるには二重数値積分を必要とする。ここでは、(1)それを避けるために、荷重からある程度離れるとその影響は無視し得るから、荷重をフーリエ級数に展開することによって表面上を動く集中荷重による変位、応力の挙動を、(2)正弦波状の移動荷重による挙動、および、(3)異なる弾性定数をもつ二次元半無限二層体における、移動集中荷重による影響を調べたので報告したい。

2. 基礎式 荷重が正方向に速度 C で動く時、座標軸も同様に動かすと、擬定常状態 (quasi-stationary-state) での弾性基礎方程式は次の様になる。 $\mathbf{U} = (u, v, w)$ は変位ベクトル、 G は Lame の定数、 ρ は密度である。

$$(\lambda + G) \operatorname{grad} \operatorname{div} \mathbf{U} + G \nabla^2 \mathbf{U} = \rho C^2 \frac{\partial^2 \mathbf{U}}{\partial t^2} \quad (1)$$

いま、 $\mathbf{U} = \operatorname{grad} \Psi + \Phi(x, y, z)$ とし、(1)に代入すると Ψ, Φ に関する次の式が成立する。

$$[\nabla^2 - M_1^2 \frac{\partial^2}{\partial x^2}] \Phi = 0 \quad [\nabla^2 - M_2^2 \frac{\partial^2}{\partial z^2}] \Phi_i = 0, \quad (i=1, 2, 3) \quad (2)$$

ただし、 Ψ は回転成分であるから、 $\operatorname{div} \Psi = 0$ (3)

ここで、 M_1, M_2 は、それぞれ、変容波、回転波に対する移動荷重のマッハ数であり、ここでは supersonic すなむち $M_1 < M_2 < 1$ だけをとりあつかうものとする。

(2)を x と y に関してフーリエ変換へ変換された関数を大文字や上に一を付けて示す。一して、

$$\Phi = A_4 e^{i k_x x}, \quad \Psi_i = A_i e^{i k_y y}, \quad (i=1, 2, 3) \quad (4)$$

$$n_1^2 = (1 - M_1^2) \zeta^2 + \eta^2, \quad n_2^2 = (1 - M_2^2) \zeta^2 + \beta^2$$

いま、表面上の任意点 (x, y, z) に大きさ $P(x, y, z)$ の集中荷重が働く時(Fig. 1)，境界条件もフーリエ変換して

$$z = 0; \quad \bar{T}_z = -P(x, y, z) e^{-i(k_x x + k_y y)}, \quad \bar{T}_{xz} = \bar{T}_{yz} = 0 \quad (5)$$

(3)から(5)より、 $A_1 \sim A_4$ が定まるところにより、フーリエ変換形での変位、応力が求まり、そしてそれらを x, y に関して逆変換積分してやると所要の変位、応力式を求めることができる。一例をあげると

$$W = \frac{P(x, y)}{4\pi^2 G} \int_{-\infty}^{\infty} \int_{-\infty}^{\infty} \frac{A_1}{B} \left[(\zeta^2 + \eta^2 + n_1^2) \bar{e}^{-i k_x x} - 2(\zeta^2 + \eta^2) \bar{e}^{-i k_x x} \right] \bar{e}^{-i(k_y y + k_z z)} d\zeta d\eta$$

$$\bar{T}_z = -\frac{P(x, y)}{4\pi^2} \int_{-\infty}^{\infty} \int_{-\infty}^{\infty} \frac{1}{B} \left[(\zeta^2 + \eta^2 + n_2^2) \bar{e}^{-i k_x x} - 4n_1 n_2 (\zeta^2 + \eta^2) \bar{e}^{-i k_x x} \right] \bar{e}^{-i(k_y y + k_z z)} d\zeta d\eta \quad (6)$$

$$B = (\zeta^2 + \eta^2 + n_2^2)^2 - 4n_1 n_2 (\zeta^2 + \eta^2)$$

表面上に作用する任意の分布荷重による変位、応力は α, β に関し適当に積分する。例えば、

(a) 二次元平面ひずみ状態 $P(x, y) = P(x)$ とし、(6)で β に關して $-\infty$ から $+\infty$ まで積分する。(Fig. 2)

$$f = \frac{P(x)}{2\pi} \int_{-\infty}^{\infty} F(k, 0) \bar{e}^{-i k_x x} dk \quad (7)$$

実際に(6)において $\gamma = 0$ とさせ $\alpha = 0$ の場合の解を求めると J. Cole と J. Huth の求めたものと一致する。

(b) X 方向にのみ正弦波状荷重分布 $P(x, y) = Q e^{i k_x x}$ とし (6)で α に關して $-\infty$ から $+\infty$ まで積分する。(Fig. 3)

$$f = \frac{Q}{2\pi} \bar{e}^{-i k_x x} \int_{-\infty}^{\infty} F(k, \gamma) \bar{e}^{-i k_y y} dk \quad (8)$$

(c) X, Y 方向ともに正弦波状荷重分布 $P(x, y) = Q e^{-i(k_x x + k_y y)}$ とし、(6)で α, β に關して同様に積分する。

$$f = Q \bar{e}^{-i(k_x x + k_y y)} F(k, \ell) \quad (9)$$

いま、とくに $P(x, y) = Q \sin k_x x \sin k_y y$ である時の変位および応力の一例をあげると、

$$f = \frac{Q}{G} \frac{n_1}{B} \times \left[(\zeta^2 + \eta^2 + n_2^2) \bar{e}^{-i k_x x} - 2(\zeta^2 + \eta^2) \bar{e}^{-i k_x x} \right] \times \sin k_x x \sin k_y y$$

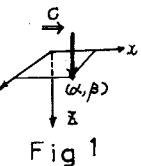


Fig. 1

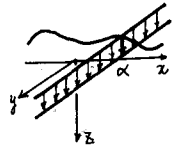


Fig. 2

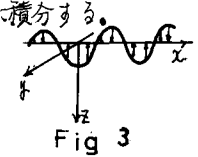
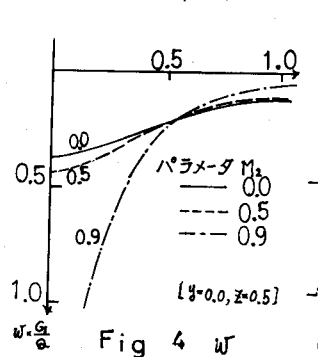
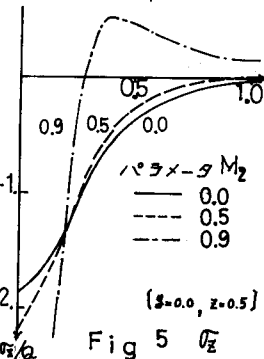
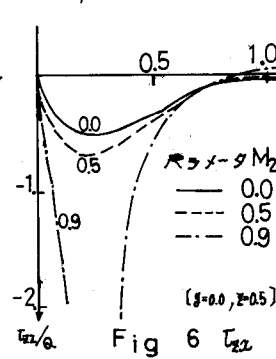


Fig. 3

$$\begin{aligned}\bar{\sigma}_z &= -\frac{Q}{B} \times \left[(k^2 + l^2 + m_2^2) e^{-kz} - 4m_1 m_2 (k^2 + l^2) e^{-kz} \right] \times \sin kx \text{ only} \\ T_{zx} &= \frac{Q}{B} \times 2k m_1 (k^2 + l^2 + m_2^2) \left[e^{-kz} - e^{-kz} \right] \times \cos kx \text{ only}\end{aligned}$$

(110)

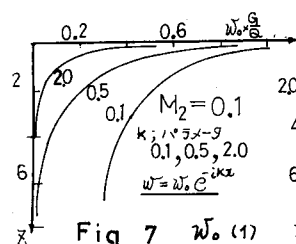
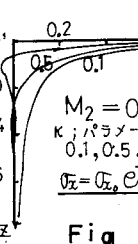
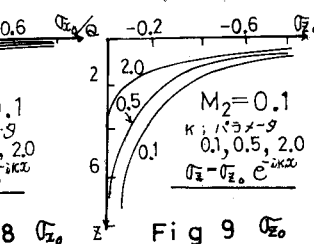
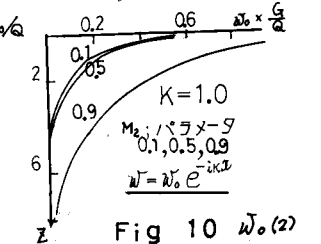
3. 数値計算例 (a) 集中荷重 荷重をフーリエ級数に展開し、(10)を重ね合わせて変位、応力の数値解を求める。Fig4～Fig6は $y=0.0$, $z=0.5$ での、 w , $\bar{\sigma}_z$, T_{zx} をパラメータとして求めた結果である。ここで、横軸は荷重作用点からの距離であり、 $M_2=0$ はBoussinesq解である。また、table 1は荷重の周期(2a)の影響を調べたものである。周期 $2a=\infty$ はL.Frybaの求めた解-(6)における $\alpha=\beta=0$ に対応してSimpson二重数値積分を行ったものである。

Fig 4 w Fig 5 $\bar{\sigma}_z$ Fig 6 T_{zx}

a	$\bar{\sigma}_z$	w
2	1.915	0.286
4	1.920	0.330
6	1.920	0.345
8	1.920	0.352
20	—	0.365
30	—	0.368
50	—	0.370
∞	1.919	—
Boussinesq 解 [6]		1.910 0.371
$[M_2=0.1, z=0.0, s=0.0, z=0.5]$		

Table 1

(b) x 軸上の正弦波上荷重分布 (8)の関係式'を用いて(6)から変位、応力式を求める。Fig7～Fig10は $y=0$ でのZ方向に関する w と $\bar{\sigma}_z$ の振幅を求めた結果である。パラメータはFig7～Fig9では M_2 であり、Fig10では K である。

Fig 7 $w_0(1)$ Fig 8 $\bar{\sigma}_z$ Fig 9 $\bar{\sigma}_z$ Fig 10 $w_0(2)$

なお、この二次元問題は、2の(a)の式を用いて求まるが、それは岡本⁽⁴⁾が求めた解と一致する。

(c) 二次元二層問題 Fig11は、上層のボアソン比 ν だけを変えた時の、Fig12は上層の M_2 (ρ G)だけを変えた時の、 $g=0$ における Z 方向の $\bar{\sigma}_z$ の分布を求めて示すのである。

図において、破線はそれを境に弾性定数が異なることを示している。

4. 考察 (1)、三次元問題でもマッハ数 M_2 (γM_1)が1に近くない限り、Boussinesq解と大差はない。；荷重の級数展開により (2)、数値積分では求まらないかって変位の数値解を得ることができ、(3) 計算時間と大画面に縮小することができる。 (3) 応力が小さい荷重周期でよいのに対し変位は比較的長い荷重周期を必要とする。

参考文献

1. J.Cole and J.Huth ; "Stresses Produced in a Half plane by Moving Loads", J.Appl.Mech., 25, 433, 1958
2. L.Fryba ; "Vibration of Solids and Structures under Moving Loads", Noordhoff, Inte.Publ. p269
3. F.C.Fung (大橋・杜上・神谷共訳) ; "固体の力学", 培風館, P263, 1970
4. 岡本舜三 ; "建設技術者のための振動学", オーム社, P204, 1967
5. 佐藤泰夫, 力武常夫 ; "矩形移動荷重による半無限体表面の変形", 災害, V.14, No.5, 1942.5
6. Yoshiji Niwa and Shoichi Kohayashi ; "Stresses Produced in a Half Plane by Moving Loads along its surface", Memo.Faculty of Eng. Kyoto Univ.